

Lith.

254

Æ(2)

Atlas
zu
Rode's
Einleitung
in die
Krysallographie.

254²

(2)

Hypocrite.

XXI Kupfertafeln

zu der

Einleitung in die Krystallographie

und in die

Krystallographische Kenntniß der wichtigeren Substanzen

von

Hermann Kopp.

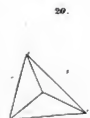
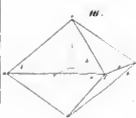
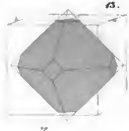
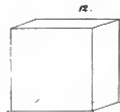
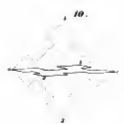
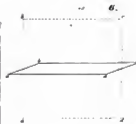
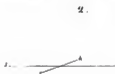
Braunschweig,

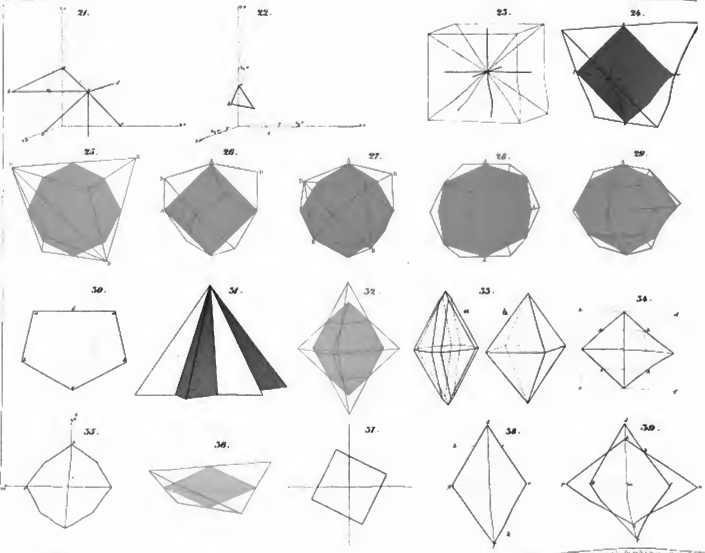
Friedrich Vieweg und Sohn.

1 8 4 9.

57 2









40.



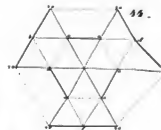
41.



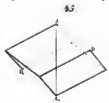
42.



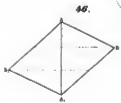
43.



44.



45.



46.



47.



48.



49.



50.



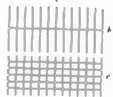
51.



51.



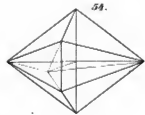
52.



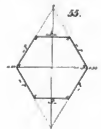
52.



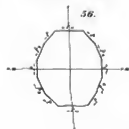
53.



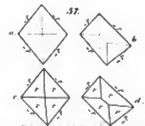
54.



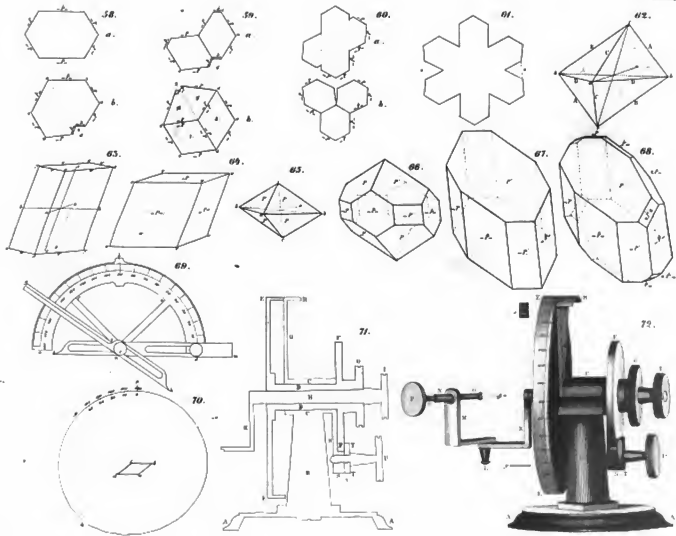
55.

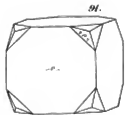
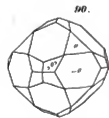
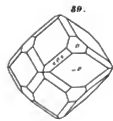
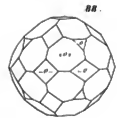
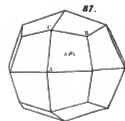
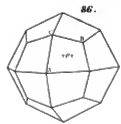
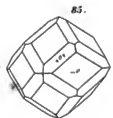
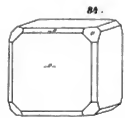
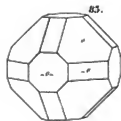
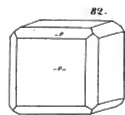
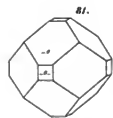
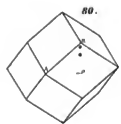
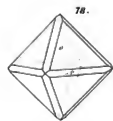
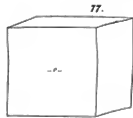
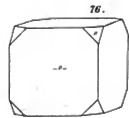
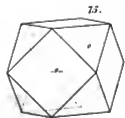
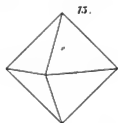


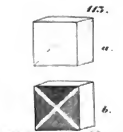
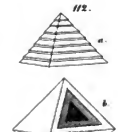
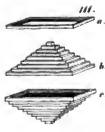
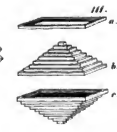
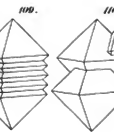
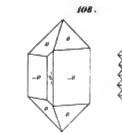
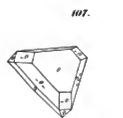
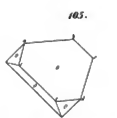
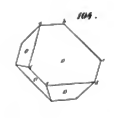
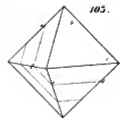
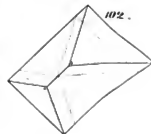
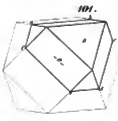
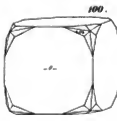
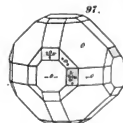
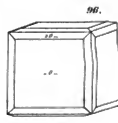
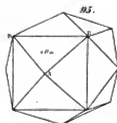
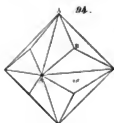
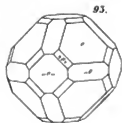
56.



57.







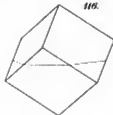
114.



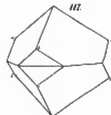
115.



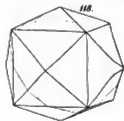
116.



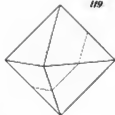
117.



118.



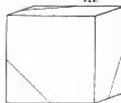
119.



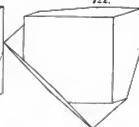
120.



121.



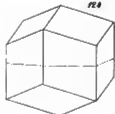
122.



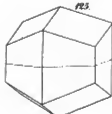
123.



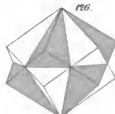
124.



125.



126.



127.



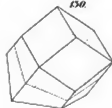
128.



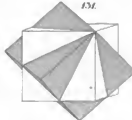
129.



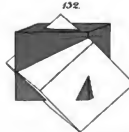
130.



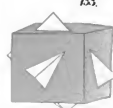
131.

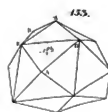
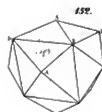
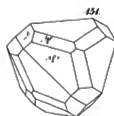
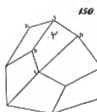
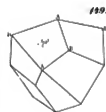
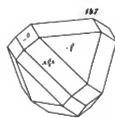
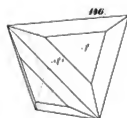
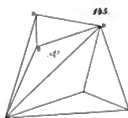
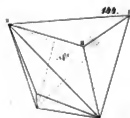
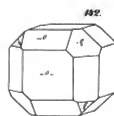
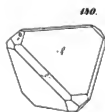
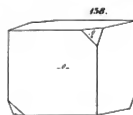
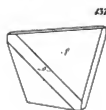
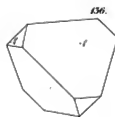
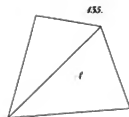
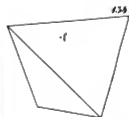


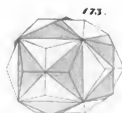
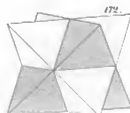
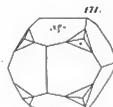
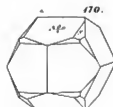
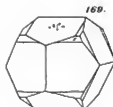
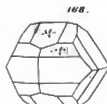
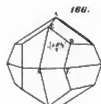
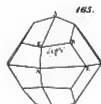
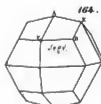
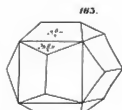
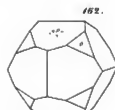
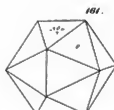
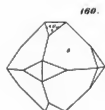
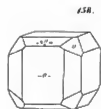
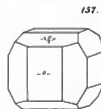
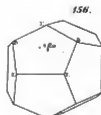
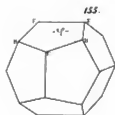
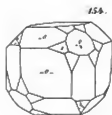
132.

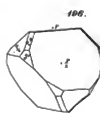
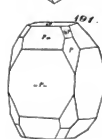
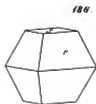
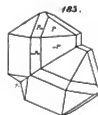
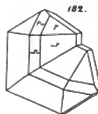
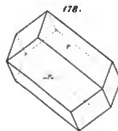
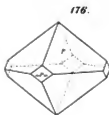


133.









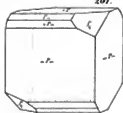
199.



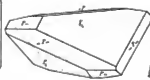
200.



201.



202.



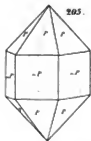
203.



204.



205.



206.



207.



208.



209.



210.



211.



212.



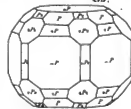
213.



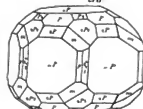
214.



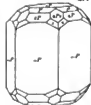
215.



216.



217.



218.



219.



220.



221.



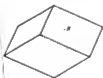
222.



223.



224.



225.



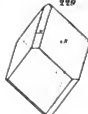
226.



227.



228.



229.

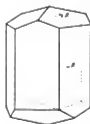


230.

231.



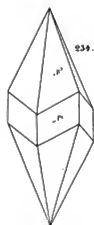
232.



233.



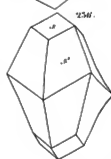
234.



235.



236.



237.



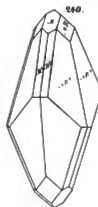
238.



239.



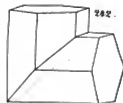
240.



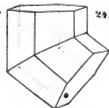
241.

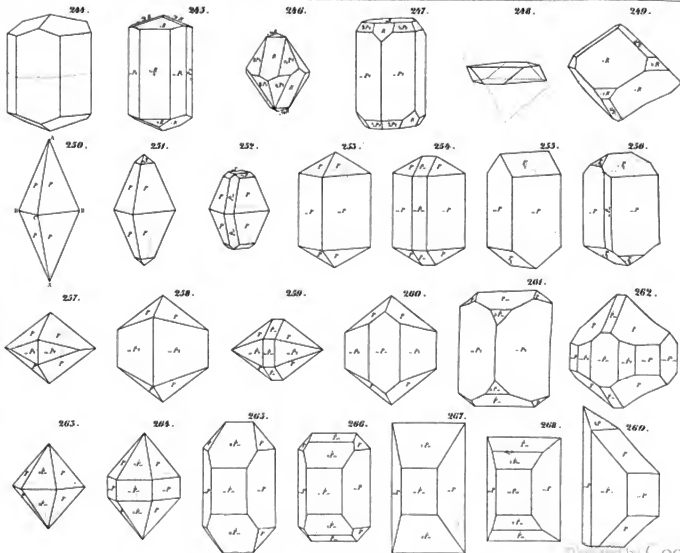


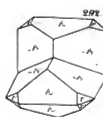
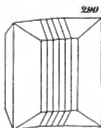
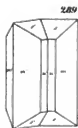
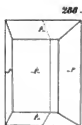
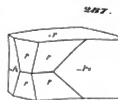
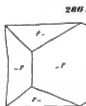
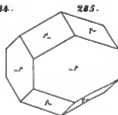
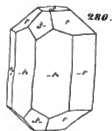
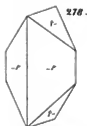
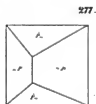
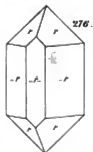
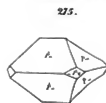
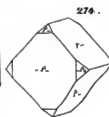
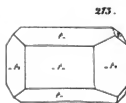
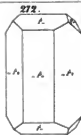
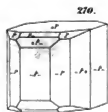
242.

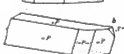
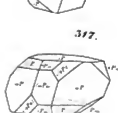
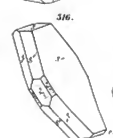
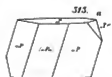
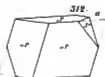
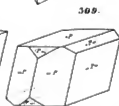
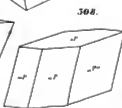
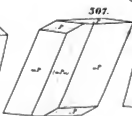
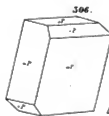
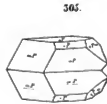
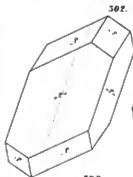
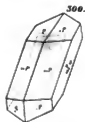
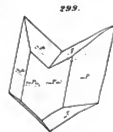
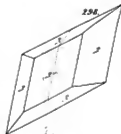
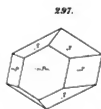
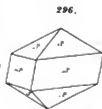
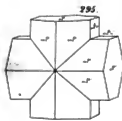


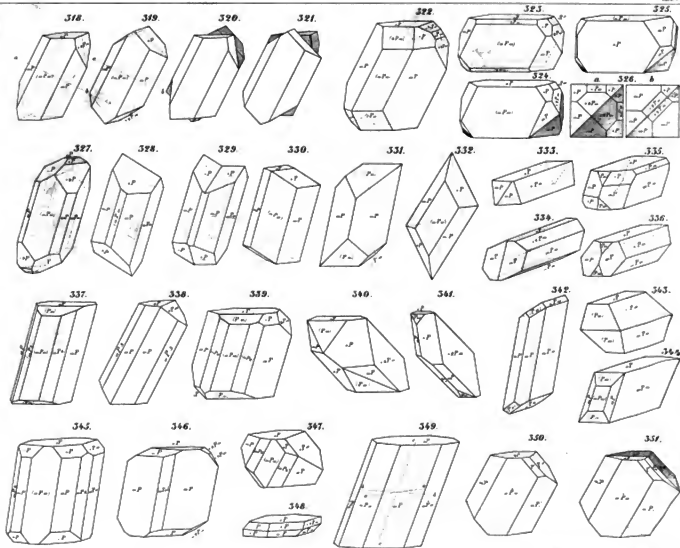
243.

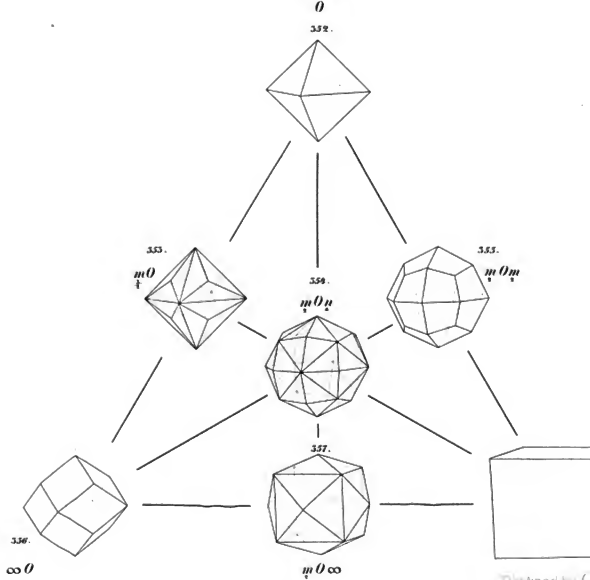












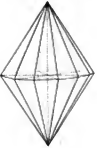




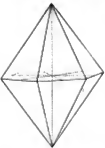











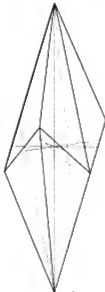







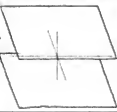




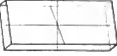


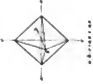

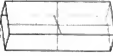



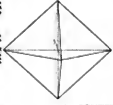
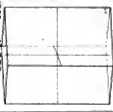




oP 339.	$m < 1$ mP 340.	P 361.	mP ($m > 1$) 362.	∞P 343.
$oPn = oP$ 364.	mPn 363.	P_n 366.	mPn 367.	∞Pn 368.
$oP\infty = oP$ 369.	$mP\infty$ 370.	$P\infty$ 371.	$mP\infty$ 372.	$\infty P\infty$ 373.

oP 379. $m < 1$	mP 383.	P 396, 397.	mP ($m > 1$)	
		 $c = \infty$		
$oP_n = oP$ 379.	mP_n 386.	P_n 391.	mP_n 392.	c
				
$oP_2 = oP$ 381.	mP_2 385.	P_2 398.	mP_2 399.	c
				

oR 	$389. m < 1) \frac{\pm}{\pm} mR$ 	$\frac{\pm}{\pm} R$ 	$391. 397. \frac{\pm}{\pm} mR (m > 1)$ 	
$oR^n = oR$ 	$393. \frac{\pm}{\pm} mR^n$ 	$\frac{\pm}{\pm} R^n$ 	$395. \frac{\pm}{\pm} mR^n$ 	∞R 

$o\tilde{P}\infty=oP$ 300		$m\tilde{P}\infty$ 306		$\tilde{P}\infty$ 304		$m\tilde{P}\infty$ 302		$\infty\tilde{P}\infty$ 303	
$o\tilde{P}n=oP$ 301		$m\tilde{P}n$ 305		$\tilde{P}n$ 308		$m\tilde{P}n$ 307		$\infty\tilde{P}n$ 309	
oP 300, $m<1$ mP 310		$m\tilde{P}n$ 315		P 311		mP ($m>1$) 313		∞P 315	
$o\tilde{P}n=oP$ 311		$m\tilde{P}n$ 315		$\tilde{P}n$ 316		$m\tilde{P}n$ 317		$\infty\tilde{P}n$ 318	
$o\tilde{P}\infty=oP$ 310		$m\tilde{P}\infty$ 320		$\tilde{P}\infty$ 321		$m\tilde{P}\infty$ 322		$\infty\tilde{P}\infty$ 323	

VII T a f e l n

mit

Regen zu Krystallmodellen

zu der

Einleitung in die Krystallographie

und in die

krystallographische Kenntniß der wichtigeren Substanzen

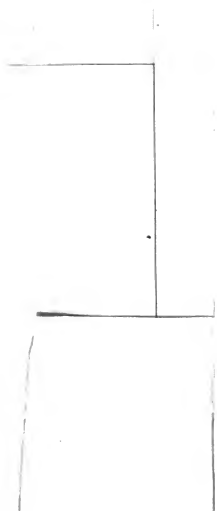
von

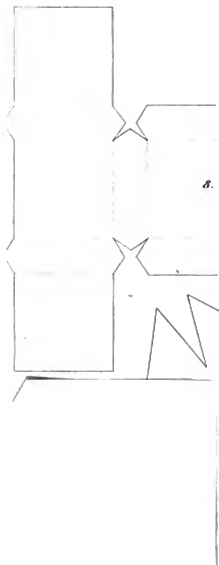
Hermann Kopp.

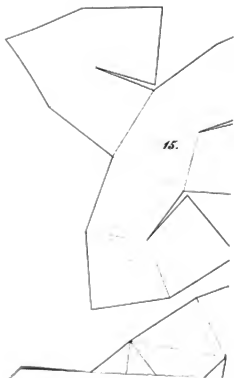
Braunschweig,

Friedrich Vieweg und Sohn.

1849.

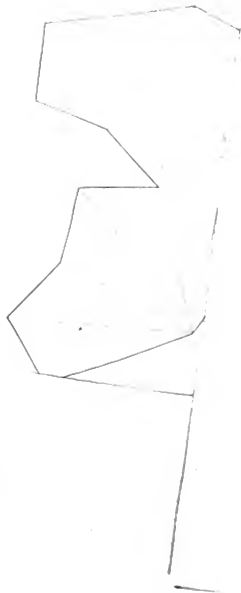


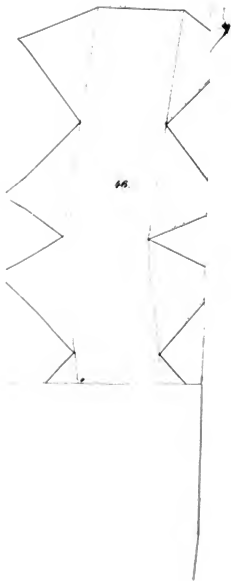






24.





77646a 1940

Digitized by Google



